

필터뱅크 기반 고속 데이터 전송을 위한 효율적인 시간 영역 등화 기법

박태윤, 홍훈희†, 최재호
전북대학교 공과대학 전자정보공학부
† 한아시스템(주) 네트워크 연구실

Efficient time domain equalization technique for filterbank-based high speed data transmission

Tae-yoon Park, Hoon-heui Hong† and Jae-ho Choi
Division of Electronics and Information Engineering, Chonbuk National University
† Network Lab., Hana Systems Inc.
email : wave@moak.chonbuk.ac.kr

요약

필터뱅크를 기반으로 하는 이산 웨이브렛 멀티톤(DWMT) 데이터 전송 시스템은 전송 채널의 영향으로 발생하는 심벌간 및 부채널간의 간섭 잡음에 민감하다. 본 논문에서 제안한 시간 영역 등화기(TEQ)는 전송 채널 응답의 길이를 단축시키는 TEQ-S와 전송 채널의 주파수 특성을 향상시키는 TEQ-C등 2단계로 이루어져 있다. 제안한 시간 영역 등화기(TEQ)를 DWMT 데이터 전송 시스템에 적용하면 많은 간섭 성분을 감소시킬 수 있어 하드웨어적으로 보다 간단한 FEQ로도 잔여 간섭 잡음을 효과적으로 제거할 수 있다.

I. 서 론

코사인 변조 필터 뱅크(cosine modulated filter banks: CMFB)를 이용한 이산 웨이브렛 멀티톤(discrete wavelet multitone: DWMT) 시스템에서 M-밴드 IDWT/DWT 다중화 송·수신기(trans-multiplexer)는 완벽 재구성 조건(perfect reconstruction constraint)을 만족한다[1]. 그러나 통신 채널 및 백색 잡음(AWGN), 누화(crosstalk), 임펄스 잡음, RFI등의 간섭요인 때문에 DWMT 시스템에는 심각한 심벌간 간섭(inter-symbol interference: ISI)과 채널간 간섭(inter-channel interference: ICI)의 영향이 존재한다.

이러한 ISI, ICI, ISCI를 제거하기 위하여 수신된 신호를 복조한 후 주파수 영역에서 등화기를 적용할 수 있다. DWMT 시스템은 전송기 변조필터의 길이

가 짧을 때보다 길기 때문에 DMT 시스템과 같이 순환 접두부를 사용할 수 없어서 보다 복잡한 구조의 주파수 영역 등화기(frequency domain equalizer: FEQ)가 요구된다[2].

본 논문에서는 수신된 신호를 복조하기 전 단계인 시간 영역에서 전송 채널의 특성을 개선하는 등화기를 설계하여 FEQ의 하드웨어 복잡도를 크게 감소시키는 효과와 함께 데이터 전송률을 높일 수 있는 알고리즘을 제안한다. 제안한 시간 영역 등화기(time domain equalizer: TEQ)는 2단계로 구성된다. 첫 번째 단계는 TEQ-S(TEQ-shortening)이고 두 번째 단계는 TEQ-C(TEQ-compensation)이다. 수령 속도가 뛰어난 Kalman 알고리즘[3]을 적용한 TEQ-S는 전송 채널 임펄스 응답의 길이를 줄여 전송 채널의 시간 특성을 향상시키고, 전형적인 LMS(least mean square)기법에 의하여 구현된 TEQ-C는 전단의 TEQ-S에서 처리된 전송 채널의 주파수 특성을 향상시킨다. 제안한 TEQ는 전송 채널에 의해서 발생하는 ISI와 ICI의 영향을 상당량 제거할 수 있기 때문에, 시간 영역 등화기를 전혀 적용하지 않는 경우나, TEQ-S나 TEQ-C 중 하나만을 적용한 경우와 비교하여 훨씬 간단한 FEQ로 잔여 ISCI의 영향을 제거할 수 있다.

II. DWMT 데이터 전송 시스템 구조

그림 1은 제안한 시간 영역 등화기를 포함하는 DWMT 기반 데이터 전송 시스템의 블럭도이다. DWMT 시스템의 IDWT/DWT는 실수로 구성된

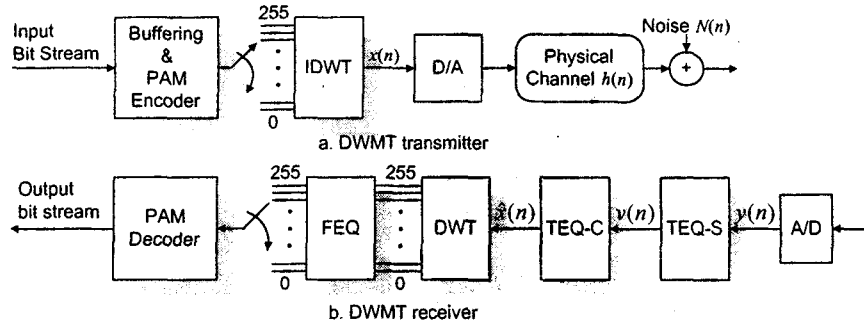


그림 1. DWMT 기반 데이터 전송 송수신기 블럭도

코사인 변조 필터뱅크 기반 변·복조 시스템이므로 M-PAM 부호화기를 사용한다. DWMT 시스템의 주요부분인 IDWT(inverse discrete wavelet transform)는 시간 분할 다중화(time division multiplexed: TDM) 형태의 신호를 주파수 분할 다중화(frequency division multiplexed: FDM) 형태로 변조하고, DWT는 이를 다시 시간 분할 다중화된 신호로 복조한다[2][4][5].

III. 2단계 시간 영역 등화기(TEQ)

본 논문에서 제안한 TEQ는 전송 채널의 임펄스 응답의 길이를 줄이는 TEQ-S와 전송 채널의 주파수 응답을 향상시키는 TEQ-C등 2 단계로 구성되어 있으며 훈련 수열(training sequence)을 이용하여 TEQ-S의 텁 계수와 TEQ-C의 텁 계수를 순차적으로 결정한다.

1. 전송 채널의 임펄스 응답 줄이기 (TEQ-S)

전송 채널 임펄스 응답의 길이를 줄이는 TEQ-S는 수렴 속도가 뛰어난 Kalman 알고리즘을 사용한 RLS(recursive least square) 방법으로 구현하였다.

전송 채널 전달 함수를 pole-zero 모델로 표현하면 $h(z^{-1}) = a(z^{-1})/[1+b(z^{-1})]$ 이고, TEQ-S의 전달 함수가 $1+b'(z^{-1})$ 라고 가정할 때, 짧아진 전송 채널의 전달 함수 $a'(z^{-1})$ 는 다음과 같다.

$$\left(\frac{a(z^{-1})}{1+b(z^{-1})} \right) (1+b'(z^{-1})) \approx a(z^{-1}) \approx a'(z^{-1}) \quad (1)$$

식 (1)처럼 TEQ-S가 전송 채널의 pole을 제거시킨다면 채널 임펄스 응답의 길이를 $a'(z^{-1})$ 의 차수로 줄일 수 있다. 이를 위해 벡터 Θ , $\Phi(n)$ 을 다음과 같이 정의한다[6].

$$\Theta = [a'_0 \ a'_1 \ \dots \ a'_{v'} - b'_1 \ - b'_2 \ \dots \ - b'_{l'}]^T \quad (2)$$

$$\Phi(n) = [x(n) \ x(n-1) \ \dots \ x(n-v) \ y(n-1) \ \dots \ y(n-t)]^T \quad (3)$$

이 때 $[a'_0 \ a'_1 \ \dots \ a'_{v'}]$ 는 짧아진 전송 채널의 임펄스 응답이고, $[1 \ b'_1 \ b'_2 \ \dots \ b'_{l'}]$ 는 TEQ-S의 텁 계수, $x(n)$ 은 IDWT의 출력 값 즉, 전송된 신호이고 $y(n)$ 은 채널과 잡음에 의해 왜곡된 수신 신호이다. TEQ-S의 텁 길이는 $(t+1)$ 이다. $e(n) = y(n) - y'(n)$ 이라 정의할 때, 효율적인 TEQ-S 설계를 위하여 Kalman 알고리즘[3]을 사용하여 평균 자승 오류(mean squared error), $E(e^2(n))$ 을 최소화하는 벡터 Θ_{LS} 를 반복적으로 구하면 다음과 같다.

$$\Theta_{LS}(k) = \Theta_{LS}(k-1) + \mathbf{K}(k)e(k) \quad (4)$$

$$\mathbf{K}(k) = \frac{1}{w + \Phi^T(k)\mathbf{P}(k-1)\Phi(k)} \mathbf{P}(k-1)\Phi(k) \quad (5)$$

$$\mathbf{P}(k) = \frac{1}{w} [\mathbf{P}(k-1) - \mathbf{K}(k)\Phi^T(k)\mathbf{P}(k-1)] \quad (6)$$

여기서 w 는 $0 < w < 1$ 의 임의의 상수이며, 식 (4), (5), (6)을 반복적으로 수행하여 빠른 수렴 속도로 TEQ-S의 텁 계수를 결정할 수 있다.

2. 전송 채널의 주파수 응답 보상 (TEQ-C)

TEQ-S는 전송 채널 임펄스 응답의 길이만을 줄이므로 짧아진 채널 $h_s(n)$ 은 이상적인 채널의 주파수 특성보다 상당한 감쇠를 보인다. 채널의 주파수 특성을 보상하는 적은 텁 수의 등화기를 적용하여 이상적인 채널에 보다 가깝게 만들어 줌으로써 시스템의 성능을 크게 향상시킬 수 있다. 하드웨어 복잡도를 줄이기 위하여 TEQ-C는 구조가 간단한 전형적인 LMS(least mean square) 알고리즘을 사용한다.

그림 2는 LMS 기법으로 구현된 TEQ-C의 구조이다. TEQ-C 텁 계수 벡터를 \mathbf{C} 라 정의하면, $(k+1)$ 번째 반복 수행에서의 TEQ-C 텁 계수는 다음과 같이 계산된다.

$$\mathbf{C}(k+1) = \mathbf{C}(k) + \Delta e(k)\mathbf{V}(k) \quad (7)$$

여기에서 $\mathbf{V}(k)$ 는 TEQ-C로 입력되는 $(2K+1)$ 길이의 벡터로 다음과 같다.

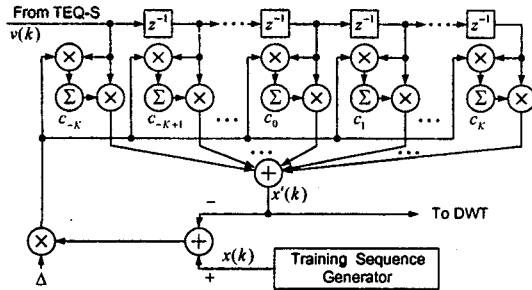


그림 2. LMS 알고리즘을 사용한 TEQ-C의 구조

$$\mathbf{V}(k) = [v(k+K) \cdots v(k) \cdots v(k+K)]^T \quad (8)$$

또한 수렴 제어 상수 Δ 는 $0 < \Delta < 2/\lambda_{\max}$ 가 되게 설정하며, λ_{\max} 는 입력 벡터 $\mathbf{V}(k)$ 와 관련한 자기 상관 행렬(autocorrelation matrix)의 고유치(eigenvalues) 중 최대값이고, $e(k) = x(k) - x'(k)$ 이다. 여기서 $x(k)$ 는 TEQ-C 계수 훈련을 위한 훈련 수열로서 전송 M-PAM 심벌을 IDWT로 변조한 값을 사용하고, $x'(k)$ 는 TEQ-C의 출력 값이다.

등화기 훈련기간 동안에 훈련 수열을 사용하여 TEQ-S와 TEQ-C의 필터 계수를 순차적으로 결정한다. 훈련기간이 끝나고 실제 데이터를 전송할 때는 전송 채널의 특성이 거의 변하지 않는다는 가정 하에서 TEQ-S와 TEQ-C의 탭 계수를 고정할 수 있다. 그러므로 실제 데이터 전송 시에는 $(t+1)$ 길이의 TEQ-S $q(n)$ 과 $(2K+1)$ 길이의 TEQ-C $c(n)$ 은 탭 계수가 고정된 하나의 FIR 필터 즉, $teq(n) = q(n)*c(n)$ 으로 작동된다. 등화 전의 전송 채널을 $h(n)$ 이라 할 때 등화 후 채널의 임펄스 응답은 $h_{eq}(n) = h(n)*teq(n)$ 이다. 이 경우 전체 시간 영역 등화기 TEQ의 임펄스 응답인 $teq(n)$ 의 탭 수는 $t+2K+1$ 이 된다.

IV. 모의 실험

제한한 시간 영역 등화기의 성능을 확인하기 위하여 10.24 MHz까지의 대역을 사용하였다. IDWT/DWT 필터뱅크를 구성하는 기저 대역 통과 필터의

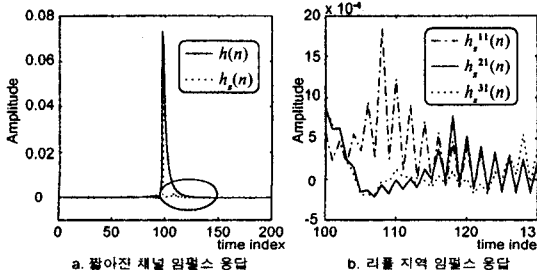


그림 3. TEQ-S에 의해 짧아진 채널 임펄스 응답

필터 중첩 인자 g 는 2를 사용하였고, 각 부채널에서의 샘플링 주파수 f_s 는 80 kHz이다. 부채널 수는 256 개를 사용하였으며 이를 중 0~64번째 부채널은 POTS/ISDN 등을 위해 사용하지 않는다. 총 전송 파워는 11.5 dBm이다. 시뮬레이션에 사용된 전송 채널은 T1E1.4의 VDSL 시험 선로 중 하나인 VDSL1x이다. 잡음 요인으로는 -140 dBm/Hz의 백색 잡음과 FEXT를 고려하였다.

그림 3은 Kalman 알고리즘을 사용하여 구현된 TEQ-S의 성능을 나타낸다. 그림 3.a는 시험 선로의 채널 임펄스 응답 $h(n)$ 과 11탭 TEQ-S를 사용하여 짧아진 임펄스 응답 $h_{eq}(n)$ 을 보여주고, 그림 3.b는 a)에서 타원으로 표시된 리플 지역을 확대하여 나타내었다. $h_s^{11}(n)$, $h_s^{21}(n)$, $h_s^{31}(n)$ 은 11탭, 21탭, 31탭 TEQ-S를 각각 $h(n)$ 에 적용하여 짧아진 임펄스 응답이다. 실험결과에서 알 수 있듯이 TEQ-S의 탭 수가 증가할수록 짧아진 전송 채널 임펄스 응답의 리플이 적어지기는 하나 21탭인 경우와 31탭인 경우는 리플의 차이가 거의 없었다.

그림 4는 21탭의 TEQ-S를 바탕으로 여러가지 탭 수의 TEQ-C를 시험해 보았다. 그림 4.a는 채널의 주파수 응답 $H(f)$, TEQ-S에 의해 짧아진 채널의 주파수 응답 $H_{eq}(f)$, 여기에 3탭 TEQ-C를 사용하여 등화된 채널의 주파수 응답 $H_{eq}^3(f)$ 를 나타내고 있다. 그림 4.b는 3탭, 5탭 및 7탭의 TEQ-C를 각각 적용하여 얻은 등화된 채널의 주파수 응답 $H_{eq}^3(f)$, $H_{eq}^5(f)$, $H_{eq}^7(f)$ 를 보다 확대하여 본 것이다. 21탭 TEQ-S와 함께 7탭 TEQ-C를 사용했을 때 시간 영역에서 얻고자 하는 안정된 등화기 성능을 보이는 것으로 나타났다.

TEQ를 거치고도 남아있는 간섭을 제거하기 위해서는 각 부채널에 주파수 영역 등화기(FEQ)가 필요하다. FEQ는 일반적인 LMS 알고리즘을 확장한 2 차원 LMS 알고리즘을 사용하였다. 그림 5는 TEQ와 FEQ를 조합적으로 사용하여 시험 선로를 등화한 결과이다. 등화기의 성능평가 기준으로 다음과

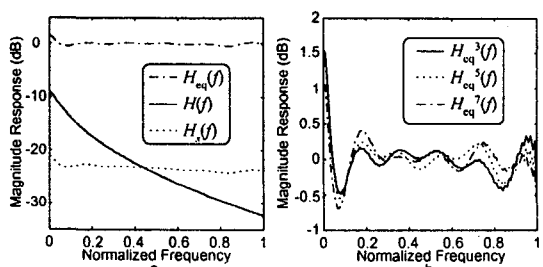


그림 4. TEQ로 등화된 채널의 주파수 응답

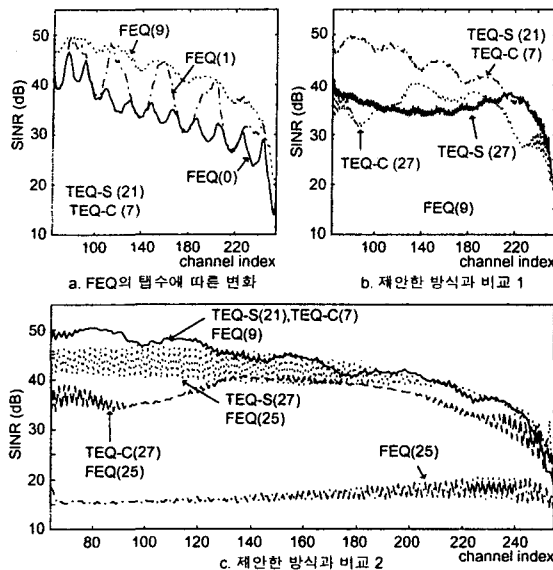


그림 5. TEQ, FEQ를 사용한 각 부채널에서의 SINR
같이 정의된 SINR(signal to interference and noise
ratio)을 사용하였다.

$$\text{SINR}_i = 10 \times \log_{10} \frac{P_i}{\xi_i}, \quad \xi_i = \frac{1}{N} \sum_{n=0}^{N-1} |I_i(n) - s_i(n)|^2 \quad (9)$$

i 는 부채널 인덱스, P_i 는 송신 심볼의 평균 전력, $I_i(n)$ 은 전송 심볼, $s_i(n)$ 은 FEQ의 decision 심볼을 의미한다. 그림에서 괄호 안의 수는 각 등화기의 텁수를 의미한다.

그림 5.a는 21텝 TEQ-S 와 7텝 TEQ-C를 사용했을 때, FEQ 텁 수에 따른 각 부채널에서의 SINR이다. 9텝 FEQ를 사용했을 때 안정적으로 우수함을 알 수 있다. 그림 5.b는 FEQ를 9텝으로 고정하고 TEQ-S 및 TEQ-C를 시험한 것이다. TEQ-C나 TEQ-S 등 1 종류만의 TEQ를 사용했을 때보다도 같은 텁 수의 2단계 TEQ를 사용했을 때 각 부채널에서의 SINR이 평균 7 dB 이상 우수하다.

그림 5.c에서 살펴 볼 수 있듯이 제안한 2단계 TEQ를 9텝의 FEQ와 함께 적용하면 25텝의 FEQ만을 단독으로 사용하는 경우보다 각 부채널에서의 SINR을 최대 35 dB, 평균 25 dB 향상시킬 수 있음을 알 수 있다. 또한, 25텝의 FEQ와 단일 방식의 27텝 TEQ를 사용했을 경우와 비교해보아도 보다 향상된 등화 성능을 보임을 알 수 있다. 즉, 이 경우, 제안한 TEQ를 사용하면 FEQ와 관련한 곱셈기 및 덧셈기의 하드웨어를 60% 이상 낮출 수 있다.

V. 결론

본 논문에서는 TEQ-S/TEQ-C로 구성된 시간 영

역 등화기(TEQ)를 제안하였다. 제안한 시간영역 등화기를 DWMT 기반 고속 데이터 전송 시스템에 적용하면 보다 우수한 채널 등화 성능을 보임과 동시에, 주파수 영역 등화기와 관련한 하드웨어를 크게 줄일 수 있었다.

한편, 제안한 TEQ는 심벌 동기를 가정하고 구현되었으나 실제적인 시스템 구현을 목표로 삼는다면 프레임 동기화(synchronization)가 필요하며 동시에 임펄스 잡음 및 RFI 등의 채널 손상 요인에 대한 연구도 요구된다.

Acknowledgements

본 논문은 정보통신부 연구지원에 의한 연구결과입니다.

참고문헌

- [1] M. A. Tzannes, "The DWMT: A multicarrier transceiver for ADSL using M-band wavelet transforms," *ANSI T1E1.4 Committee Contribution No. 93-067*, March 1993.
- [2] Sturt D. Sandberg, Michael A. Tzannes, "Overlapped discrete multitone modulation for high speed copper wire communications," *IEEE JSAIC*, vol.13, no. 9, pp. 1571-1585, Dec. 1995.
- [3] John G. Proakis, *Digital Communications*, 3th Ed., McGraw-Hill, New York, NY, 1995.
- [4] John M. Cioffi, "A Multicarrier Primer", *ANSI T1E1.4 Committee Contribution No. 91-157*, Nov. 1991.
- [5] P. P. Vaidyanathan, *Multirate Systems and Filter Banks*, Prentice Hall, Englewood Cliff, New Jersey, 1993.
- [6] Peter J. W. Melsa, Richard C. Younce, Charles E. Rohrs, "Impulse response shortening for discrete multitone transceivers", *IEEE Trans. on Comm.*, vol. 44, no. 12, pp. 1662-1672, Dec. 1996.
- [7] Walter Y. Chen, *DSL simulation techniques and standards development for digital subscriber line systems*, Macmillan, Indianapolis, Indiana, 1998.
- [8] "Very-high-speed Digital Subscriber Lines System Requirements," *ANSI T1E1.4/98-043R2*, 1998